

## III-B167 矢板引き抜き時の大口径ポリエチレン管の挙動に関する遠心実験

大日本プラスチックス 木内 武・炭山宣英  
 高耐圧ポリエチレン協会 天野成樹  
 大阪市立大学 東田 淳

まえがき 先の兵庫県南部地震において下水道用のコンクリート管とPVC管が多大な被害を受け、下水管路の耐震化が急務となった。著者らは、すでに諸外国で下水道用に広く用いられている大口径ポリエチレン管の採用が下水管路の耐震強化の決め手と考え、これを我が国の下水道に適用する場合の工学的問題の解決を目的として研究を始めた。今回は、管敷設時に問題を引起しがちな矢板引抜きの影響を遠心実験で調べた。

実験方法 模型は原型を1/30に縮小した二次元模型で、図-1に示す高密度ポリエチレン製の模型管(外径D=6.72cm、管厚t=2.68mm、管長14.8cm、原型でD=202cm、t=80mm)を、図-2に示すように模型地盤中に埋めたものである。管の周囲(■)以外の地盤は表-1に示すまさ土で作成した。実験は、模型を30G場に置いて模型矢板を引抜いた後、地表面の均しと舗装のために重機が進入する状況を想定して、21tブルドーザー相当の荷重を幅8cm(原型で2.4m)の載荷板により $0.55\text{kgf/cm}^2$ まで地表面に載荷し、実験の各段階で管の鉛直たわみと曲げひずみ分

布を測定した。実験条件は、掘削

溝幅9.2cm( $=1.4D$ )・基礎厚1cm( $=0.15D$ )を一定とし、表-2に示したケース①の条件(管周囲の埋戻し土がまさ土・土被り高H=D・根入れ長L=0.5D)の2枚の矢

板(厚さT=5mm)

を同時引抜き・捨

てコンクリート無

し)の場合を基準

条件とし、表-2に

示すように管周囲

の埋戻し土の種類

・H・L・T・矢板

引抜き方法・捨て

コンクリート(厚

さ5mmのアルミ板

で模型化)の有無

を単独に変化させ

た。模型地盤の作

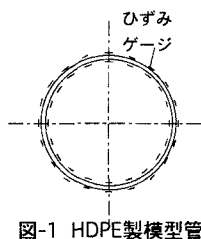


図-1 HDPE製模型管

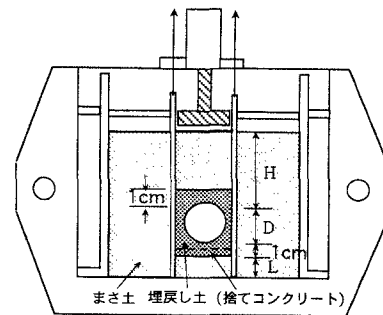


図-2 実験装置

表-1 地盤材料

| 土     | Gs   | U <sub>c</sub> | $\rho_{\text{dmax}}$<br>g/cm <sup>3</sup> | $\rho_{\text{dmin}}$<br>g/cm <sup>3</sup> | w <sub>opt</sub><br>% | $\rho_d$<br>g/cm <sup>3</sup> | w<br>% | D <sub>r</sub><br>% | c <sub>d</sub><br>tf/m <sup>2</sup> | $\phi_d$<br>度 |
|-------|------|----------------|---|---|-----------------------|-------------------------------|--------|---------------------|-------------------------------------|---------------|
| まさ土   | 2.71 | 70             | 1.92                                      | 1.37                                      | 11.4                  | 1.50                          | 10     | 30                  | 0.9                                 | 38            |
| シルト質砂 | 2.67 | 115            | 1.86                                      | 1.18                                      | 13.5                  | 1.50                          | 12     | 58                  | 3.0                                 | 32            |
| 珪砂    | 2.65 | 1.75           | 1.58                                      | 1.32                                      | -                     | 1.43                          | 0      | 47                  | 0                                   | 37            |

表-2 実験条件と測定結果

| 条件      | 管周囲の<br>ケース | 埋戻し土 | T<br>(mm) | 矢板<br>引抜き | 捨てコン<br>クリート | 最大たわみ率(%)  |            | 最大曲げひずみ(%) |            |
|---------|-------------|------|-----------|-----------|--------------|------------|------------|------------|------------|
|         |             |      |           |           |              | 矢板引<br>抜き時 | 地表面<br>載荷時 | 矢板引<br>抜き時 | 地表面<br>載荷時 |
| ① まさ土   | D           | 0.5D | 5         | 同時        | 無し           | 7.3        | 12.1       | 0.57#      | 1.04       |
| ② 珪砂    | D           | 0.5D | 5         | 同時        | 無し           | 6.4        | 8.9        | 0.51       | 0.70       |
| ③ シルト質砂 | D           | 0.5D | 5         | 同時        | 無し           | 5.8        | 12.6       | 0.41       | 0.95       |
| ④ まさ土   | 2D          | 0.5D | 5         | 同時        | 無し           | 10.9       | 14.2       | 0.89       | 1.17       |
| ⑤ まさ土   | 0.5D        | 0.5D | 5         | 同時        | 無し           | 3.7        | 11.1       | 0.32#      | 0.90       |
| ⑥ まさ土   | D           | D    | 5         | 同時        | 無し           | 6.0        | 10.6       | 0.51       | 0.92       |
| ⑦ まさ土   | D           | 0.5D | 0.3       | 同時        | 無し           | 1.2        | 3.1        | 0.14       | 0.42       |
| ⑧ まさ土   | D           | 0.5D | 5         | 片方ずつ      | 無し           | 6.0        | 11.5       | 0.51       | 1.01       |
| ⑨ まさ土   | D           | 0.5D | 5         | 同時        | 有り           | 4.5        | 8.9        | 0.41       | 0.83       |
| ⑩ 珪砂    | D           | 0.5D | 5         | 同時        | 有り           | 5.3        | 7.7        | 0.48       | 0.74       |

注) 最大曲げひずみ発生位置: #は管底、それ以外は管頂

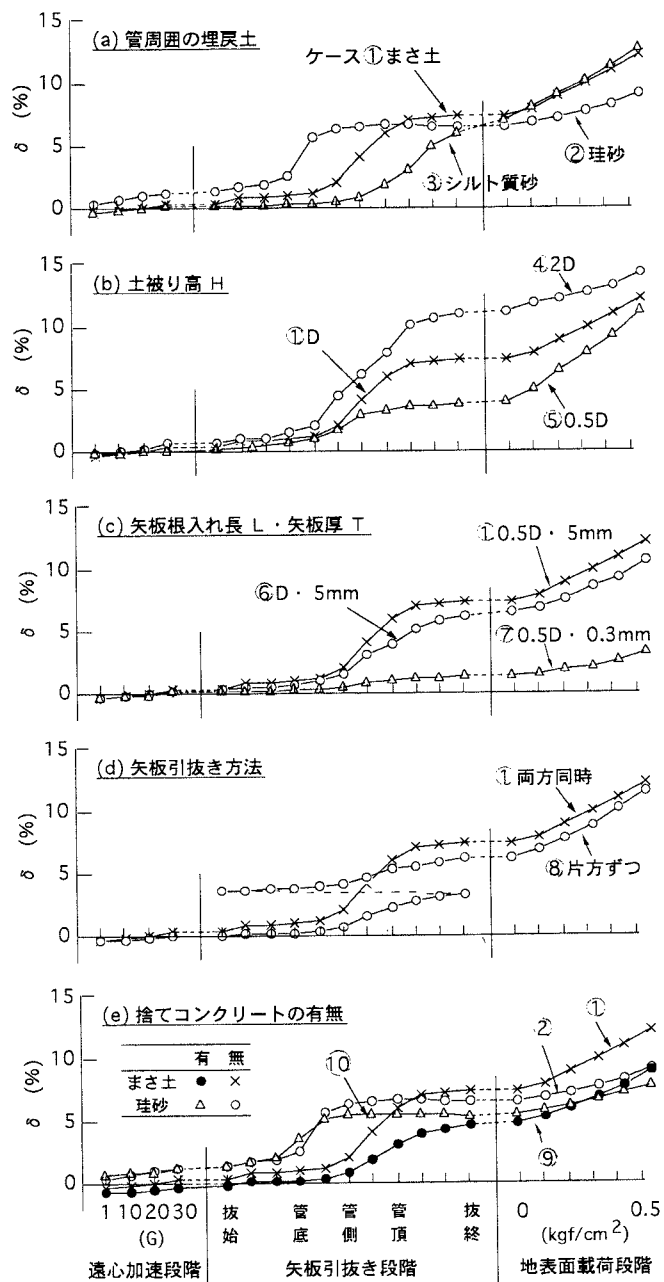
キーワード: ポリエチレン管、矢板引き抜き、遠心実験、変形、対策工

連絡先: 〒558 大阪市住吉区杉本3-3-138 大阪市立大学工学部 TEL&FAX 06-605-2725

成は表-1に示す3種類の土材料を用い、まさ土・シルト質砂は鉛直方向に仕上り層厚1cmで締固め、乾燥砂は管軸方向に流し込んだ。前者では、管と同じ形状の締固め用具を用いて下部地盤に凹部を作り、模型管をそこにはめ、それから上方に順次締め固めた。また矢板の厚さT=5mm(原型で15cm)は引抜かれる矢板の凹部に土が付着する条件を、T=0.3mm(原型で0.9cm)は土が付着しない条件をシミュレートした。

- 測定結果 矢板引抜き段階と載荷段階**  
 で測った管の鉛直たわみ率 $\delta$ の変化を図-3に、また両段階で記録された $\delta$ と曲げひずみの最大値を表-2に示す。図-3の矢板引抜き段階の横軸は引抜き矢板下端の位置を表す。矢板引抜き中の $\delta$ を $\delta_d$ 、載荷による $\delta$ の増分を $\Delta\delta$ とする、測定結果から以下のことが分かる。
- ・図-a: 管周囲の埋戻し土の細粒分含有率が少ないと $\delta_d$ は早く増え、 $\Delta\delta$ は小さい。ただし、最大 $\delta_d$ は埋戻し土が変わってもそれほど変わらない。
  - ・図-b: Hが大きいほど、 $\delta_d$ は大きいが、 $\Delta\delta$ は小さい。
  - ・図-c: Lが大きいと $\delta_d$ は少し減る。一方、Tを減らすと、 $\delta_d$ は1/6、 $\Delta\delta$ は1/2.5に減り、対策工として優れている。
  - ・図-d: 実際と同じく片方ずつ矢板を引抜くと、 $\delta_d$ は同時引抜きに比べ15%ほど減る。 $\Delta\delta$ は変わらない。
  - ・図-e: 捨てコンクリートを置くと、 $\delta_d$ は埋戻し土がまさ土で40%、砂で20%ほど減る。 $\Delta\delta$ は変わらない。

**あとがき** HDPE管の許容たわみ率は通常5%であり、今回、これをクリアーしたのは矢板引抜き段階ではケース⑤、⑦、⑨、載荷段階ではケース⑦のみであった。よって実施工に当たっては、矢板引抜き後の重機進入を避け、止むを得ない時は鉄板を引いて荷重分散を図るとともに、引抜き矢板の凹部への土の付着を確実に切るために、すでに提案したジェット併用矢板引抜き<sup>1)</sup>や別報に示した矢板打設時に矢板にシートを巻く方法<sup>2)</sup>のいずれかを探るべきである。

図-3 実験の各段階で測定された管の鉛直たわみ率 $\delta$ の変化

**参考文献** 1) 東田他: 埋設管に対する矢板引抜きの影響を軽減するための対策工、25回土質工学研究発表会、1990. 2) 天野他: 矢板引抜き時の大口径ポリエチレン管の挙動に関する実規模実験、52回土木学会年講、1997.